

تولید نفت زیستی از پیرولیز سریع بقایای ذرت و چوب اکالیپتوس در رآکتور بستر سیال

محمدعلی ابراهیمی‌نیک^{۱*}، اقدس حیدری^۲، حبیب‌الله یونسی^۳

۱- استادیار گروه مهندسی ماشینهای کشاورزی، دانشکده کشاورزی، دانشگاه فردوسی مشهد

Ebrahimi-nik@um.ac.ir

۲- مدرس، دانشکده منابع طبیعی و محیط زیست، دانشگاه فردوسی مشهد

۳- دانشیار، دانشکده منابع طبیعی و علوم دریایی نور، دانشگاه تربیت مدرس

چکیده

پیرولیز سریع یک از فناوری‌های جذاب برای تولید سوخت مایع (نفت زیستی) از زیست‌توده است که پتانسیل زیادی برای استفاده در صنعت و حمل و نقل دارد. ضایعات ذرت (چوب و کلش) و چوب اکالیپتوس به عنوان دو منبع لیگنوسلولزی، از فراوانی زیادی در سطح جهان برخوردار هستند. در این مطالعه پیرولیز سریع این دو ماده تحت دمای ۵۰۰ درجه سانتی‌گراد، جریان گاز حامل ۶۶۰ لیتر در ساعت، اندازه ذرات ۱-۲ میلی‌متر و نرخ تغذیه ۸۰، ۹۰ و ۱۱۰ گرم در ساعت مورد بررسی قرار گرفت. آزمایش‌ها به صورت پیوسته در یک رآکتور بستر سیال انجام شد. میان بخارات پیرولیزی در ۳ مرحله سرمایشی (۱۵، ۰ و ۴۰ درجه سانتی‌گراد) به‌اضافه مرحله جذب الکترواستاتیک صورت می‌پذیرفت. نتایج نشان داد که افزایش نرخ تغذیه در هر دو ماده خام ابتدا باعث افزایش تولید نفت زیستی و سپس کاهش آن می‌شود. بیشترین میزان نفت زیستی به میزان $\frac{72}{4}$ درصد از چوب اکالیپتوس در نرخ تغذیه ۹۰ گرم در ساعت به دست آمد. کارایی تولید نفت زیستی از پیرولیز سریع بقایای ذرت به طور متوسط کمتر از چوب اکالیپتوس بود. در تمامی آزمایش‌ها، نفت به دست آمده از چگالنده الکترواستاتیک قهقهه‌ای پرنگ با ویسکوزیته بسیار بالا بود.

واژه‌های کلیدی: انرژی‌های تجدیدپذیر، پیرولیز سریع، زیست‌توده، نرخ تغذیه

مقدمه

توجه به مسائلی مانند گرمایش جهانی، انتشار دی‌اکسیدکربن، ذخیره انرژی مطمئن و مصرف کمتر سوخت فسیلی، استفاده از منابع انرژی قابل تجدید را ضروری می‌سازد (Stöcker, 2008). منابع مختلف زیست‌توده از جمله ضایعات حیوانی، پسماندهای کشاورزی و شهری را می‌توان به عنوان ماده خام برای تولید انرژی و مواد شیمیایی استفاده نمود. زیست‌توده را می‌توان با کمک فرآیندهای ترموشیمیایی به منابع انرژی (نفت زیستی و زغال زیستی) و مواد شیمیایی (کربن فعال، اسیدها، فنول و غیره) تبدیل نمود (Jayasinghe and Hawboldt, 2012). پیرولیز یکی از تکنیک‌های مورد توجه فرآیند ترموشیمیایی است که برای تولید نفت زیستی یا زغال از زیست‌توده استفاده می‌شود. در فرآیند پیرولیز سریع محصول در سه فاز مایع (آب + قیر + ترکیبات آلی)،

جامد (زغال) و گاز (CO, CO₂, H₂, CH₄) به دست می‌آید. محصول مایع فرآیند پیرولیز سریع زیستتوده، نفت زیستی^۱ نامیده می‌شود که مایعی به رنگ قهوه‌ای تیره است و از ترکیبات به شدت اکسیژن‌دار تشکیل شده است. ارزش حرارتی آن بین ۱۴ تا ۱۸ مگاژول بر کیلوگرم است (Heo *et al.*, 2010). نفت زیستی بوسیله شکستن و تجزیه شدن سریع و همزمان سلولز، همی‌سلولز و لیگنین موجود در زیستتوده با افزایش سریع دما، و سپس خنک شدن سریع محصولات واسط، تشکیل می‌شود (Zhang *et al.*, 2007).

کارایی و ترکیبات محصولات پیرولیز (نفت زیستی، گاز و زغال زیستی) به نوع ماده خام و شرایط پیرولیز بستگی دارد. زمان ماند طولانی در نرخ حرارتدهی آهسته (پیرولیز کند) غالباً زغال زیستی (کربن فعال) تولید می‌کند. زمان ماند کم و نرخ حرارتدهی سریع (پیرولیز سریع) نفت تولید می‌کند. نفت زیستی و زغال معمولاً بعنوان سوخت جایگزین سوخت‌های فسیلی و ماده خام برای تولید مواد شیمیایی استفاده می‌شود.

نفت زیستی را می‌توان از انواع ضایعات لیگنوسلولزی کشاورزی و جنگلی تولید نمود. در مقیاس آزمایشگاهی، صدها ماده خام، برای تولید نفت زیستی بررسی شده‌اند. بر اساس پژوهش‌های پیشین، به طور کلی زیستتوده چوبی بهترین کیفیت نفت زیستی را بر حسب مقدار کربن، هیدروژن و آب تولید شده دارا می‌باشد. انواع زیستتوده، سطح بلوغ، اختلاف فصلی همه بر ترکیبات محصول و در نتیجه کیفیت فیزیکی و شیمیایی نفت زیستی تولید شده تاثیر می‌گذارند (Butler *et al.*, 2011).

پارامترهای زیادی از جمله اندازه ذرات زیستتوده، شدت جریان نیتروژن (گاز عامل سیالیت)، نرخ تغذیه، نوع زیستتوده و دما بر کارایی و ترکیب شیمیایی نفت زیستی حاصل از پیرولیز سریع زیستتوده تاثیر دارد (Butler *et al.*, 2011; Chiaramonti *et al.*, 2007; Mohan *et al.*, 2006; Saxena *et al.*, 2009; Zhang *et al.*, 2011; Zhang *et al.*, 2007).

تاثیر دما در محدوده ۴۸۰–۵۳۰ درجه سانتیگراد بر کارایی نفت زیستی حاصل از پیرولیز ساقه پنبه در راکتور بستر سیال توسط (Zheng *et al.*, 2008) مورد مطالعه قرار گرفت. نتایج آزمایش نشان داد بالاترین کارایی نفت زیستی در ۵۱۰ درجه سانتیگراد بدست می‌آید. انواع مختلف زیستتوده چوبی (کاج، راش و بامبو) در راکتور بستر سیال توسط (Wang *et al.*, 2005) پیرولیز شده‌اند. تاثیر دما در محدوده ۲۵۰–۸۰۰ درجه سانتیگراد بر کارایی محصولات مطالعه شد. ماکزیمم نفت زیستی ۶۵٪ در دمای بین ۴۵ و ۵۵ درجه سانتیگراد بدست آمد.

یکی از فاکتورهای مهمی که پذیرش انرژی‌های تجدیدپذیر را تسريع کرده و به آن مقبولیت می‌دهد، عدم رقابت منبع انرژی با منابع غذایی و یا به عبارت دیگر، خوردنی نبودن زیستتوده مورد استفاده است (Osada *et al.*, 2012). تابه‌حال در شرایط یکسان دمایی و نرخ تغذیه، کارایی تولید نفت زیستی از دو منبع فراوان لیگنوسلولزی (بقایای ذرت و چوب اکالیپتوس) بررسی نشده است.

^۱ Bio-oil

براساس آنچه از منابع موجود می‌توان دریافت، دمای معمول و مناسب پیرولیز سریع مواد لیگنوسلولزی در محدوده ۵۰۰ درجه سانتی‌گراد است (Yanik *et al.*, 2007). بر این اساس، هدف از مطالعه حاضر، مقایسه کارایی تولید نفت زیستی از چوب اکالیپتوس و ذرت در دمای ۵۰۰ درجه سانتی‌گراد و نرخ تغذیه ۸۰، ۹۰ و ۱۱۰ گرم در ساعت می‌باشد.

مواد و روش‌ها

تمامی مراحل این تحقیق در آزمایشگاه پیرولیز گروه تحقیقات کاتالیزوری (IKFT^۱) ائیستیتو فناوری کاسروهه آلمان^۲ صورت پذیرفت. بقایای ذرت و چوب اکالیپتوس بعنوان ماده خام برای تولید نفت زیستی استفاده شد. این مواد آسیاب و به اندازه ذرات ۱-۲ میلی‌متر الک و سپس در دمای اتاق خشک شد.

تعیین مشخصات زیست‌توده

مقدار رطوبت نمونه به شیوه زیر و بر اساس روش ASTM 2010a انجام شد. ابتدا بوته چینی خالی وزن شد (B). سپس بوته چینی با زیست‌توده در آون در دمای ۱۰۳ درجه سانتی‌گراد به مدت ۳ ساعت قرار داده شد. در نهایت نمونه در دمای اتاق در دسیکاتور قرار داده تا سرد شود. نمونه با بوته چینی وزن شده (D) و درصد رطوبت بر اساس معادله ۱ تعیین شد.

$$\text{معادله ۱} \quad \text{مقدار رطوبت} = 100 \cdot (C-D)/(C-B) \quad (1)$$

مقدار خاکستر بر اساس روش ASTM 2010b انجام شد. ابتدا بوته چینی خالی وزن شد (B). سپس بوته چینی با زیست‌توده وزن شد (C). بعد از آن در کوره در دمای ۶۰۰ درجه سانتی‌گراد به مدت ۳ ساعت قرار داده شد. سپس نمونه در دمای اتاق در دسیکاتور قرار داده شد تا سرد شود. در آخر نمونه با بوته چینی وزن شده (D) و درصد خاکستر بر اساس معادله ۲ تعیین شد.

$$\text{معادله ۲} \quad \text{مقدار خاکستر} = 100 \cdot (D-B)/(C-B) \quad (2)$$

مقدار کربن^۳ ثابت بوسیله کم کردن درصد مقدار رطوبت، مقدار مواد فرار و مقدار خاکستر از ۱۰۰ محاسبه گردید. مقدار بدست آمده مقدار کربن ثابت حاضر در نمونه بر حسب درصد است. آنالیز عنصری نمونه بر اساس اصل دوماس^۴ که شامل اکسیداسیون کامل و آئی یا احتراق سریع نمونه است به وسیله آنالیز کننده CHNS Vario EL III انجام شد. درصد اکسیژن با کم کردن جمع کربن، هیدروژن، نیتروژن و سولفور از ۱۰۰ بدست آمد.

دستگاه پیرولیز سریع بسته سیال

¹ Institute für Katalyseforschung und-Technologie

² Karlsruhe Institute of Technology

³ Fixed carbon

⁴ Dumas

آزمایشات پیروولیز سریع در راکتور بستر سیال پیوسته در مقیاس آزمایشگاهی انجام شد. شکل ۱ عکسی از دستگاه پیروولیز سریع را نشان می‌دهد. دستگاه شامل سیستم تغذیه کننده پیوسته (شماره ۲ در تصویر)، راکتور بستر سیال (شماره ۴)، سیکلون، مخزن جمع‌آوری زغال (شماره ۵)، سیستم جمع‌آوری نفت زیستی (شماره‌های ۶ تا ۹) و سنجنده جربان گاز (در شکل دیده نمی‌شود) است. سیستم تغذیه کننده زیست‌توده شامل یک مخزن بسته، همزن، تغذیه کننده مارپیچی با قابلیت تنظیم سرعت و لوله‌های جربان نیتروژن است. راکتور بستر سیال از فولاد ضد زنگ ساخته شده و مشکل از لوله استوانه‌ای به قطر ۴ سانتی‌متر و طول ۳۰ سانتی‌متر است که به طور غیر مستقیم بواسیله گرم‌کننده الکتریکی گرم می‌شود. شن سیلیکا^۱ با اندازه ذرات ۴۰۰-۳۰۰ میکرومتر به عنوان مواد بستر استفاده شد. نیتروژن هم به عنوان گاز سیال کننده استفاده گردید که با گرم‌کننده الکتریکی تا دمای مورد نظر گرم شد. سیکلون طوری طراحی شده است تا ذرات معلق زغال که در جربان گاز وجود دارند را حذف کند. جنس سیکلون از فولاد ضد زنگ بود و طول آن ۱۱ سانتی‌متر می‌باشد. مخزن زغال در پایین سیکلون قرار گرفته است که زغال در آن جمع‌آوری می‌شود. سیستم مورد استفاده در آزمایش دارای چهار مرحله جدآگاه برای بازیافت نفت زیستی دارد. در حقیقت پیروولیز سریع، بخار و ذرات معلق مختلفی ایجاد می‌کند که برای گرفتن آنها استراتژی‌های مختلفی لازم است. مرحله اول کندانسور لوله‌ای از جنس فولاد ضد زنگ (شماره ۶) طراحی شده است تا ترکیبات با نقطه شینیم پایین را بگیرد. دمای آب این کندانسور بر روی ۱۴ درجه سانتی‌گراد ثابت نگهداشته می‌شود. مرحله دوم از دو تله سرمایشی شیشه‌ای (شماره ۷ و ۸) تشکیل شده است که طراحی شدند تا ترکیبات با نقطه شینیم بالا را به دام بیندازند. در این واحدها از یخ و آب برای خنک کردن بخارات پیروولیزی استفاده می‌شود. مرحله سوم رسوب‌دهنده الکترواستاتیک^۲ (شماره ۹) است که از لوله‌ای از جنس فولاد ضد زنگ و لوله‌های شیشه‌ای تشکیل شده است. اکثر بخارات غیرقابل معیان همراه با ذرات معلق و ذرات کوچک زغال با نیروی الکترواستاتیک گرفته می‌شوند.



شکل ۱- تصویر سیستم پیروولیز بستر سیال

¹ Silica Sand

² Electrical Percipitator

مرحله چهار برای حذف بخارات پپرولیز که شامل آب و ترکیبات فرار سیک مانند فرمالدئید و برخی کتون‌ها با نقطه جوش پایین است بکار برده شد. این قسمت توسط مخلوطی از اتانول و نیتروژن مایع در دمای -40°C درجه سانتیگراد ثابت نگهداشته می‌شود. بعد از این چهار مرحله، ستون فشرده از پشم شیشه قرار گرفته است تا ذرات معلق را از جریان گاز پپرولیز جدا کند. آخرین بخش از سیستم پپرولیز گاز سنج قرار گرفته است که حجم گاز خروجی را ثبت می‌کند. در واقع گاز حامل نیتروژن همراه با گاز پپرولیز غیر قابل میغان از گاز سنج عبور می‌کند.

روش انجام آزمایش‌ها

پپرولیز سریع در راکتور بستر سیال تحت دمای راکتور 500°C ، شدت جریان گاز حامل 660 لیتر در ساعت ، اندازه ذرات $1\text{--}2\text{ میلی‌متر}$ و دو نرخ تغذیه $90\text{ و }110\text{ گرم در ساعت}$ انجام شد. در هر آزمایش $90\text{ گرم شن سیلیکا درون راکتور قرار داده شد}$. گاز نیتروژن به عنوان گاز حامل برای ایجاد اتمسفر خنثی در طی آزمایش به سیستم تزریق می‌شد. قبل از شروع آزمایش، راکتور و نیتروژن به مدت حدود $1/5$ ساعت حرارت داده شدند. زمانی که راکتور و نیتروژن به دمای مورد نظر رسیدند، تغذیه کننده ماریچی روشن می‌شود تا زیست‌توده را درون راکتور بربیزد. آزمایش به مدت یک ساعت ادامه پیدا می‌کرد. دمای سیستم در آزمایش با کنترل کننده دما بر روی 500°C درجه سانتی‌گراد تنظیم و با ترموکوپیل نظارت شد. این دما براساس بررسی منابع به عنوان دمای بهینه پپرولیز سریع بستر سیال انتخاب شد (Mullen *et al.*, 2010; Yanik *et al.*, 2007).

موازنۀ جرمی^۱ با وزن کردن همه ورودی‌ها و خروجی‌ها به درون سیستم پپرولیز انجام شد. همه اجزای سیستم آزمایش مانند راکتور، مخزن زغال، کندانسور، تله‌های سرد و رسوپدهنده الکترواستاتیک به طور مجزا قبل و بعد از هر آزمایش وزن شد تا مقدار زغال و نفت زیستی تعیین شود. محصول گاز با اختلاف وزنی بین محصول زغال و مایع محاسبه گردید. کارایی گاز، مایع و زغال با نسبت بین مواد جمع‌آوری شده و زیست‌توده مصرف شده در فرآیند پپرولیز محاسبه شد. برای اطمینان از تکرارپذیری آزمایش‌ها، هر تست ۳ بار تکرار شد و میانگین آن به صورت جدول یا نمودار گزارش شد. انحراف معیار نتایج در تمامی موارد کمتر از $4/7\%$ بود. برای رسم نمودارها از نرم‌افزار اکسل استفاده شد.

نتایج و بحث

شناسایی زیست‌توده

خصوصیات زیست‌توده‌های مورد استفاده (آنالیز نهایی، آنالیز تقریبی و ترکیبات آن) در جدول ۱ آورده شده است. رطوبت هر دو ماده کمتر از 10% درصد است که بدون نیاز به خشک کردن بیشتر برای پپرولیز بستر سیال مناسب است (Asadullah *et al.*,

^۱ Mass Balance

نیز خصوصیاتی دارد که نشان‌دهنده مقدار مواد معدنی موجود در زیست‌توده است. در بقایای ذرت بیشتر از چوب اکالیپتوس (2008) میزان خاکستر که نشان‌دهنده مقدار مواد معدنی موجود در زیست‌توده است در بقایای ذرت بیشتر از چوب اکالیپتوس تشخیص داده شد.

جزای اصلی زیستتوده همی سلولز، سلولز و لیگنین است. سایر ترکیبات زیستتوده مواد استخراجی (مثل واکس‌ها و رزین‌ها) و خاکستر است. از بین ترکیبات زیستتوده، همی سلولز کمترین پایداری حرارتی و لیگنین بیشترین پایداری حرارتی را دارد. لیگنین در برگیرنده شبکه پیچیده‌ای از ترکیبات آروماتیک است. مقدار لیگنین بیشتر در زیستتوده منجر به تولید زغال بیشتر و نفت زیستی با وزن ملکولی نسبتاً بالا می‌شود (Nowakowski *et al.*, 2010). بخش عمده ترکیبات چوب اکالیپتوس سلولز (۵۷/۷ درصد) و همی سلولز (۲۷/۶ درصد) است که در فرآیند پیرولیز به مواد فرار تبدیل می‌شوند (Pattiya, 2011). در فرآیند پیرولیز زیستتوده، مواد فرار با میغان به نفت زیستی تبدیل می‌شوند.

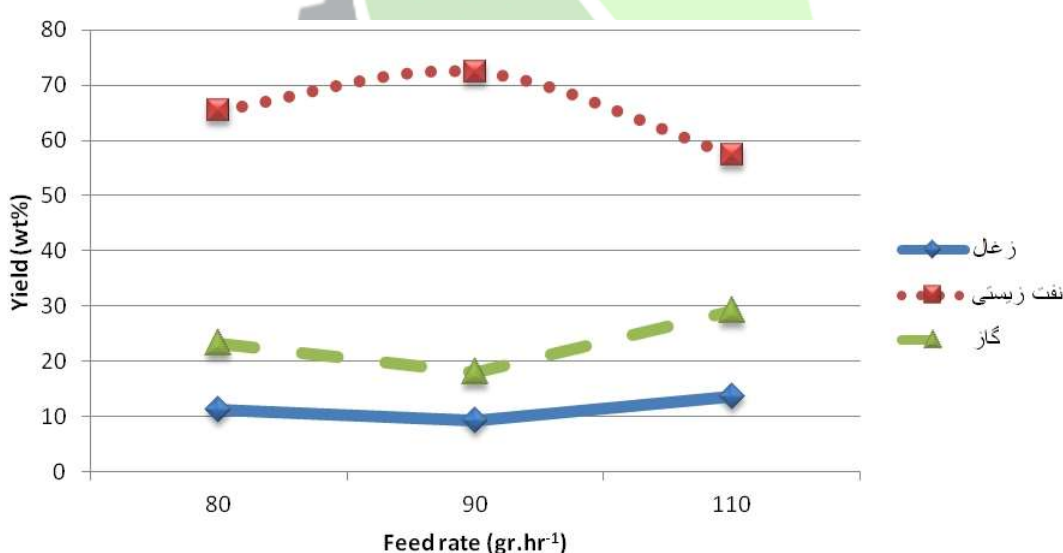
جدول ۱- ویژگی‌های چوب زیست‌توده مورد استفاده بر اساس وزن خشک

گروه	نام	٪ (%)	وزن (Drift Weight)
آنالیز تقریبی (درصد وزنی)	آب	6.3	7.9
	کربن	2.1	0.55
	هیدروژن	42.9	48.2
	نیتروژن	6.4	6.2
	گوگرد	0.6	<0.5
	اسیژن	0.29	<0.1
	سلولز	49.8	44.1
	لیگنین	31.7	57.7
	همی سلولز	31.7	15.2
	ارزش حرارتی	3.4	27.6
آنالیز نهایی (درصد وزنی)	آب	18.05	19.42
	کربن	42.9	48.2
	هیدروژن	6.4	6.2
	نیتروژن	0.6	<0.5
آنالیز ترکیبات (درصد وزنی)	آب	31.7	57.7
	کربن	31.7	15.2
	هیدروژن	3.4	27.6
	نیتروژن	18.05	19.42

از جدول دیده می‌شود که مواد لیگنوسولوئری بقایای ذرت کمتر از چوب اکالیپتوس است و مجموع آنها به ۱۰۰ درصد نمی‌رسد. بنابر مطالعات گذشته می‌توان گفت که $33/2$ درصد باقی‌مانده، از خاکستر (21%) و کربوهیدرات‌های غیرفیبری^۱ – شامل مواد بدون دیواره سلولی مانند نشاسته، شکر و پکتین – تشکیل شده است (Mullen *et al.*, 2010).

پیرولیز سریع چوب اکالیپتوس

تأثیر نرخ تعذیب بر توزیع ترکیبات تولیدی حاصل از پیرولیز سریع چوب اکالیپتوس در دمای 500°C در شکل ۲ نشان داده شده است. کارایی نفت زیستی به طور متوسط 65 درصد بود که در مقایسه با آنچه که در منابع آمده است در حد قابل قبولی می‌باشد. براساس گزارش (Abnisa *et al.*, 2011; Bertero *et al.*, 2012; Cao *et al.*, 2011; Ertaş and Hakkı Alma, 2008) (۱) هیدروکسی‌آلدهیدها، (۲) هیدروکسی‌کتون‌ها، (۳) شکرها و شکرها دهیتراته، (۴) اسیدهای کربوکسیلیک، (۵) ترکیبات فنولی. نتایج مطالعات (Heidari *et al.*, 2010; Goyal *et al.*, 2008) که در شرایط تقریباً مشابه و در همین آزمایشگاه صورت گرفت نشان می‌دهد که فنول‌ها عمده‌ترین ترکیب موجود در نفت زیستی بدست آمده از پیرولیز چوب اکالیپتوس است. فنول‌ها یکی از پرکاربردترین مواد شیمیایی مورد استفاده در صنایعی همچون، رنگ‌سازی، رزین‌سازی و داروسازی هستند (Amutio *et al.*, 2012; Park *et al.*, 2009).

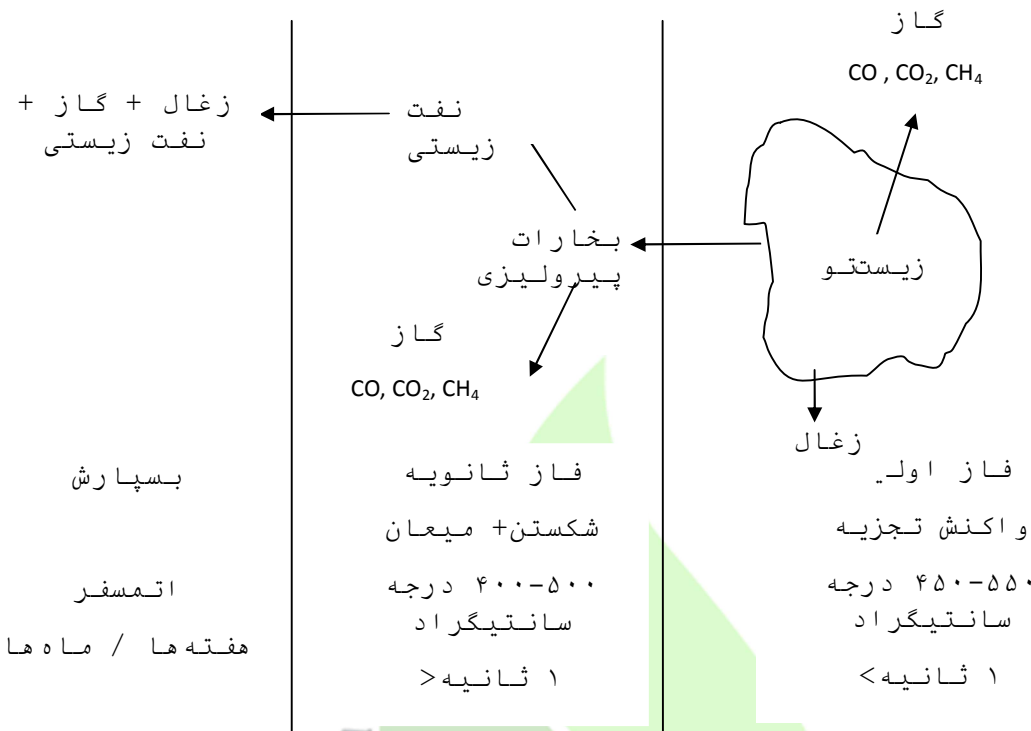


شکل ۲- تأثیر نرخ تعذیب بر ترکیبات تولیدی از چوب اکالیپتوس (دما 500°C)

^۱ Non-fiber carbohydrates (NFC)

همان طور که در شکل ۲ دیده می شود با افزایش نرخ تغذیه کارایی نفت زیستی ابتدا افزایش و سپس کاهش می باید به طوری که بیشترین درصد نفت زیستی در نرخ تغذیه میانی و به میزان $\frac{72}{4}$ است. کارایی زغال و گاز روند کاملاً معکوسی را طی می کنند که این امر نخست با درنظر داشتن موازنۀ جرم توجیه می شود. از طرف دیگر، نرخ تغذیه بر الگوی سیال شدن، شدت جریان گاز پیرولیزی، اختلاط جامد، ویژگی های انتقال حرارتی، زمان ماند بخار و شکستن ثانویه گاز تاثیر می گذارد (R. Liu, 2009). در فرآیند پیرولیز سریع (شکل ۳) در طی حرارت دادن سریع، ذرات زیست توده ابتدا در کمتر از یک ثانیه به زغال ($10-15$ درصد وزنی) و بخارات پیرولیز که حاوی گازهای پایدار (دی اکسید کربن، متان، مونو اکسید کربن) و مایعات قابل میان می باشند تجزیه می شوند. بخش قابل میان بخارات پیرولیز شامل بخش آبی (نفت زیستی)، رطوبت و آب تولید شده در طی تجزیه است. زمانی که درجه حرارت زیاد باشد یا زمان فاز ثانویه (قسمت میانی در شکل ۳) طولانی تر شود، پیشرفت واکنش های شکست ثانوی^۱ بیشتر می شود و گاز بیشتری تولید می شود (Robert C. Brown, 2011). اصولاً یک بستر سیال، به دو بخش چگال و معلق جدا می شود. از آنجایی که درجه حرارت بخش چگال بیشتر است، نرخ تغذیه بیشتر، جریان گاز تولیدی را افزایش می دهد. افزایش جریان گاز تولیدی به معنی کاهش زمان ماند بخارات در رآکتور (کاهش زمان فاز میانی) است. این امر به طور موثری از شکست ثانوی بخارات پیرولیزی در بستر چگال جلوگیری می کند و بدین ترتیب باعث افزایش درصد نفت زیستی می شود (افزایش کارایی تولید با افزایش نرخ تغذیه از 80 به 90 گرم در ساعت) (Park HJ, 2009). اما زمانی که نرخ تغذیه باز هم بیشتر می شود، با توجه به ثابت بودن درجه حرارت، دیگر رآکتور قادر به تجزیه کامل زیست توده نیست. به عبارت دیگر، میزان تغذیه زیست توده، از ظرفیت رآکتور بیشتر می شود. بنابراین، مقدار زیادی از زیست توده تجزیه نمی شود و درصد زغال افزایش می باید. چنین روندی توسط (Choi et al., 2012) نیز گزارش شد. ایشان با بررسی تأثیر نرخ تغذیه بر ترکیبات تولیدی حاصل از پیرولیز سریع چوب سرو در دمای 480 درجه سانتی گراد، نتیجه گرفتند که با افزایش نرخ تغذیه از 480 به 840 گرم در ساعت، درصد نفت زیستی، ابتدا از $54/6$ به $57/8$ افزایش و سپس به $57/3$ کاهش می باید.

^۱ بخارات پیرولیزی خود حاصل تجزیه حرارتی اجزای زیست توده می باشند. تجزیه دوباره این بخارات به عنصرها با جرم ملکولی کوچکتر (گاز) را شکست ثانوی یا secondary cracking می گویند.



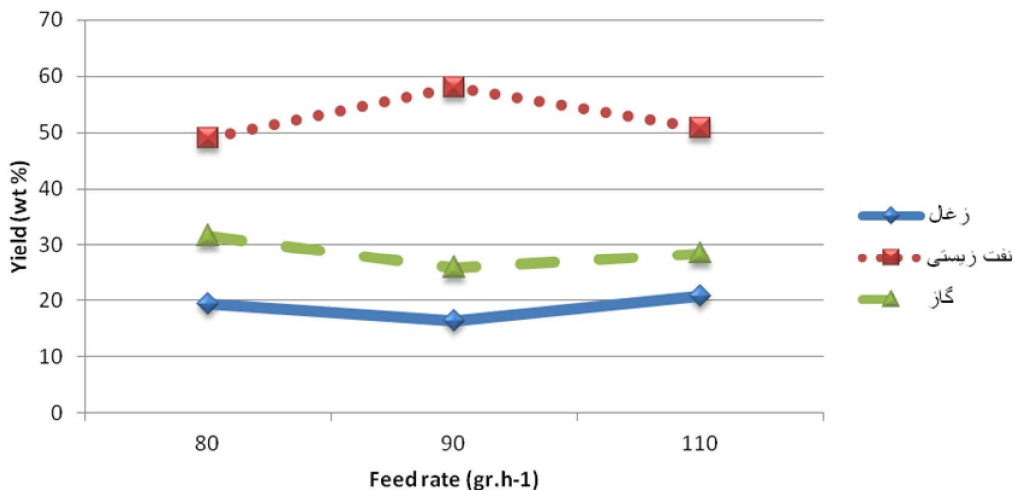
شکل ۳- شماتیک مسیر واکنش در پیرولیز سریع زیست توده لیگنو سلولزی^۱ (Robert C. Brown, 2011)

پیرولیز سریع بقایای ذرت

نتایج حاصل از پیرولیز سریع بقایای ذرت (چوب و کلش) در شکل ۴ آمده است. همانطور که دیده می شود، روند تقریباً با آنچه در مورد چوب اکالیپتوس دیده شد یکسان است. با افزایش نرخ تعذیه بقایای ذرت، کارایی نفت زیستی از ۴۹ تا ۵۸ درصد وزنی افزایش می یابد و سپس تا ۵۱ درصد وزنی کاهش می یابد. کارایی زغال و گاز ابتدا کاهش و سپس افزایش می یابد. بنابر توضیحاتی که در بالا آمد، افزایش نرخ تعذیه تا حدی باعث افزایش کارایی تولید نفت زیستی می شود و پس از رسیدن به حد ظرفیت رآکتور، باعث کاهش تولید می گردد. از آنجایی که نرخ تعذیه بر مبنای جرم ماده خام بوده است، حصول روندی مشابه با پیرولیز چوب اکالیپتوس دور از انتظار نیست.

^۱ توضیح در مورد فاز سوم در فرآیند پیرولیز سریع: نفت زیستی میان شده در طی ذخیره در مدت زمان طولانی، تحت واکنش های بسپارش

(polymerization) قرار می گیرند که همراه با تمنشت، تولید آب و دی اکسید کربن است.



شکل ۴- تاثیر نرخ تقدیم بر ترکیبات تولیدی از بقایای ذرت (دما ۵۰۰ °C)

همان طور که در شکل ۴ دیده می‌شود، بیشترین کارایی تولید نفت زیستی از بقایای ذرت (۵۸٪) است در حالی که (Asadullah *et al.*, 2008) گزارش کردند که با پیرولیز سریع چوب جوت^۱ در دمای ۵۰۰ درجه سانتی‌گراد، به ترتیب ۶۶/۷۳، ۲۲/۶۶ و ۱۰/۴۸ درصد زغال، نفت زیستی و گاز تولید کردند. میزان کمتر نفت زیستی و زغال بیشتر را می‌توان بدلیل وجود مقدار بیشتر خاکستر در بقایای ذرت (۲۱٪) نسبت به جوت (۶۲٪) و همچنین مقدار کمتر کربن (۴۲٪) در برابر (۴۷٪) داشت. در پژوهشی دیگر، (Mullen *et al.*, 2010) پیرولیز سریع چوب ذرت و کلش آن را به طور جداگانه در دمای ۵۰۰ درجه سانتی‌گراد مورد مطالعه قرار دادند. ایشان میزان نفت زیستی را ۶۱٪ و زغال بدست آمده را ۱۸٪ گزارش کردند. با توجه به اینکه نوع ماده خام، دمای واکنش و اندازه ذرات در آزمایش ایشان با مطالعه حاضر یکسان است، دلیل این اختلاف می‌تواند تفاوت در طراحی رآکتور باشد. رآکتور مورد استفاده در مطالعه حاضر دارای قطر ۴ و ارتفاع ۳۰ سانتی‌متر است و همان‌طور که شکل ۲ و شکل ۴ دیده می‌شود، ظرفیت آن نمی‌تواند بیش از ۹۰ تا ۱۱۰ گرم در ساعت باشد. در حالی که رآکتور مورد استفاده در مطالعه (Mullen *et al.*, 2010) قطری برابر ۷/۶ سانتی‌متر دارد که تا حد ۱۶۰۰ گرم در ساعت نیز ظرفیت دارد. علاوه بر این، دبی گاز حامل (عموماً نیتروژن) و نوع تله‌های طراحی شده جهت میان بخارات پیرولیزی نیز بر کارایی تولید نفت زیستی تاثیر فراوانی دارد (Ellens and Brown, 2012) که البته به جزئیات آن در گزارش ایشان اشاره نشده است.

جدول ۲ میزان نفت زیستی جمع‌آوری شده در ۴ تله نفت را آورده است. همان‌طور که از جدول دیده می‌شود، بیشترین درصد نفت زیستی از تله سرمایشی صفر درجه بدست آمد. لازم به توضیح است که در تمامی آزمایش‌ها، نفت بدست آمده از چگالنده الکترواستاتیک قهقهه‌ای پرنگ با ویسکوزیته و چسبندگی بالا بود به طوری که جمع‌آوری آن از ظرف مشکل بود. بالعکس، نفت بدست آمده در تله سرمایشی نهایی مایعی روان و زردنگ مایل به قهقهه‌ای بود. مایع جمع‌آوری شده از دو تله سرمایشی اول و دوم

^۱ Jute stick

به رنگ قهوه‌ای با ویسکوزیته‌ای مابین دو مورد قبل بود. ویسکوزیته بالای جذب کننده الکترواستاتیک می‌تواند به‌خاطر نقطه جوش بالای مایع جمع‌آوری شده باشد. ویسکوزیته نفت زیستی شدیداً تحت تاثیر دما، ماده خام، میزان آب، ترکیبات سبک آن و زمان گذشته شده از تولید آن می‌باشد (Asadullah *et al.*, 2008). ویسکوزیته بالای نفت زیستی مانع تزریق مناسب آن در انژکتورهای موتورهای معمول خواهد شد. از طرف دیگر آب موجود در آن (ناشی از رطوبت ماده خام و واکنش‌های پیروولیز) استفاده از آن را در موتورهای درون‌سوز با چالش روبرو می‌کند (Goyal *et al.*, 2008; Saxena *et al.*, 2009).

جدول ۲- میزان نفت زیستی جمع‌آوری شده از تله‌های چهارگانه بر حسب درصد از کل تولید

نوع تله نفت زیستی	تله سرمایشی نهایی	تله سرمایشی ۱	تله الکترواستاتیک	چگالنده	
(liquid N ₂ at -40 °C)			(water+ice)	(water at 14 °C)	
3.87	22.46	23.17	7.85	110 gr.hr ⁻¹	اکالیپتوس
7.02	14.12	19.44	19.56	90 gr.hr ⁻¹	
6.53	12.72	17.79	12.45	80 gr.hr ⁻¹	
6.31	13.71	19.74	9.56	110 gr.hr ⁻¹	بقایای ذرت
5.81	14.33	22.51	15.37	90 gr.hr ⁻¹	
4.23	9.71	15.74	6.04	80 gr.hr ⁻¹	

مقایسه کارایی تولید نفت زیستی از بقایای ذرت و اکالیپتوس

نتایج آزمایش‌ها نشان داد که اگرچه روند تولید در هر دو ماده یکسان است اما کارایی تولید نفت زیستی از چوب اکالیپتوس به‌طور میانگین ۱۲/۴۳٪ بیشتر از بقایای ذرت است. بالعکس میزان تولید گاز از بقایای ذرت بیشتر از چوب اکالیپتوس بوده است. زغال حاصل از پیروولیز بقایای ذرت ۷/۴۵٪ بیشتر از چوب اکالیپتوس به‌دست آمد. می‌توان این نتیجه را گرفت که در شرایط مشابه، چوب اکالیپتوس پتانسیل بیشتری برای تولید نفت زیستی دارد. دلیل این تفاوت را می‌توان به‌خاطر ساختار و ترکیبات متفاوت این دو ماده خام دانست. همان‌طور که در جدول ۱ آمده است، ترکیبات عنصری و ساختاری این دو ماده تفاوت‌های عمده‌ای با هم دارند. در ادامه تاثیر تفاوت در ترکیبات بر کارایی تولید شرح داده شده است.

کربنی که به زغال تبدیل می‌شود را کربن ثابت می‌نامند که به ترتیب متأثر از میزان لیگنین، همی‌سلولز و سلوزل است (Mohan *et al.*, 2006; Zhang *et al.*, 2007). به عبارت دیگر، در فرآیند پیروولیز، ساختار مستحکم‌تر لیگنین، از تجزیه آن به بخارات آلی قابل میان می‌کاهد و بنابراین، میانات کمتری حاصل می‌شود و عقیده کلی بر این است که هرچه میزان

لیگنین بیشتر باشد، زغال بیشتری تولید خواهد شد. (Yanik *et al.*, 2007) از آنجایی که میزان لیگنین بقایای ذرت بسیار بیشتر از چوب اکالیپتوس است (۳۱٪ در برابر ۱۵٪) چنین نتیجه‌ای دور از انتظار نیست.

از طرف دیگر، ثابت شده است که فلزات قلیایی و قلیایی خاکی موجود در زیست‌توده در فرآیند پیروزی عنوان کاتالیزور عمل کرده، مواد لیگنوسلولزی را به زغال و گاز تجزیه می‌کنند (Robert C. Brown, 2011). میزان این فلزات به‌طور قابل ملاحظه‌ای در چوب اکالیپتوس بیشتر از بقایای ذرت است که این امر می‌تواند دلیل دیگری برای پایین بودن کارایی تولید نفت از بقایای ذرت باشد.

در مجموع باید این نکته را یادآور شد که اگرچه کارایی تولید نفت زیستی از چوب اکالیپتوس بیشتر از بقایای ذرت است اما، بقایای ذرت این مزیت را دارد که جزء ضایعات کشاورزی بوده و در واقع یک محصول جانبی است که ورودی هزینه و انرژی ندارد. بالعکس اکالیپتوس جزء محصولات انرژی^۱ است که خود باید کشت و پرورش یابد که علاوه‌بر صرف انرژی و هزینه، در تصرف زمین برای کشت با محصولات خوارکی رقابت دارد.

نتیجه‌گیری کلی

پیروزی سریع بقایای ذرت و چوب اکالیپتوس این دو ماده تحت دمای ۵۰۰ درجه سانتی‌گراد، جریان گاز حامل ۶۶۰ لیتر در ساعت، اندازه ذرات ۱-۲ میلی‌متر و نرخ تغذیه ۸۰، ۹۰ و ۱۱۰ گرم در ساعت در یک رآکتور بستر سیال به‌صورت پیوسته با موقفيت انجام شد. مشخص شد که چوب اکالیپتوس نسبت به بقایای ذرت از پتانسیل بیشتری برای تبدیل شدن به نفت زیستی در فرآیند پیروزی سریع برخوردار است. با این حال افزایش نرخ تغذیه در هر دو ماده خام ابتدا باعث افزایش تولید نفت زیستی و سپس کاهش شد. بیشترین میزان نفت زیستی به میزان ۷۲/۴ درصد از چوب اکالیپتوس در نرخ تغذیه ۹۰ گرم در ساعت به‌دست آمد. نفت به‌دست آمده از چگالنده الکترواستاتیک قهقهه‌ای پرنگ با ویسکوزیته و چسیندگی بالا بود. بیشترین درصد نفت زیستی از تله سرمایشی صفر درجه به‌دست آمد. پیروزی سریع ضایعات لیگنوسلولزی کشاورزی، علاوه بر امكان تولید انرژی از منابع تجدیدپذیر، قابلیت تولید مواد خام شیمیایی مورد استفاده در صنایع که غالباً از منابع نفت فسیلی تهیه می‌شوند را دارد.

سپاسگزاری

نویسنده‌گان از مدیریت و کارمندان بخش تحقیقات کاتالیزوری ائیستیتو فناوری کاسرووه آلمان تشکر می‌کنند. همچنین نویسنده‌گان تاسف خود را بابت درگذشت دکتر رافائل اشتال که کمک فراوانی در انجام طرح‌ها داشتند ابراز می‌دارند.

^۱Energy crops

منابع

- Abnisa, F. and W. M. A. Wan Daud and J. N. Sahu. 2011. Optimization and characterization studies on bio-oil production from palm shell by pyrolysis using response surface methodology. *Biomass and Bioenergy* 35: 3604-3616.
- Amutio, M., G. Lopez, M. Artetxe, G. Elordi, M. Olazar and J. Bilbao. 2012. Influence of temperature on biomass pyrolysis in a conical spouted bed reactor. *Resources, Conservation and Recycling* 59: 23-31.
- Asadullah, M., M. Anisur Rahman, M. Mohsin Ali, M. Abdul Motin, M. Borhanus Sultan, M. Robiul Alam and M. Sahedur Rahman. 2008. Jute stick pyrolysis for bio-oil production in fluidized bed reactor. *Bioresouce Technology* 99: 44-50.
- Bertero, M. and G. de la Puente and U. Sedran. 2012. Fuels from bio-oils: Bio-oil production from different residual sources, characterization and thermal conditioning. *Fuel* 95: 263-271.
- Butler, E., G. Devlin, D. Meier and K. McDonnell. 2011. A review of recent laboratory research and commercial developments in fast pyrolysis and upgrading. *Renewable and Sustainable Energy Reviews* 15: 4171-4186.
- Cao, J.-P., X.-B. Xiao, S.-Y. Zhang, X.-Y. Zhao, K. Sato, Y. Ogawa, X.-Y. Wei and T. Takarada. 2011. Preparation and characterization of bio-oils from internally circulating fluidized-bed pyrolyses of municipal, livestock, and wood waste. *Bioresouce Technology* 102: 2009-2015.
- Chiaramonti, D. and A. Oasmaa and Y. Solantausta. 2007. Power generation using fast pyrolysis liquids from biomass. *Renewable and Sustainable Energy Reviews* 11: 1056-1086.
- Choi, H. S. and Y. S. Choi and H. C. Park. 2012. Fast pyrolysis characteristics of lignocellulosic biomass with varying reaction conditions. *Renewable Energy* 42: 131-135.
- Ellens, C. J. and R. C. Brown. 2012. Optimization of a free-fall reactor for the production of fast pyrolysis bio-oil. *Bioresouce Technology* 103: 374-380.
- Ertaş, M. and M. Hakkı Alma. 2010. Pyrolysis of laurel (*Laurus nobilis L.*) extraction residues in a fixed-bed reactor: Characterization of bio-oil and bio-char. *Journal of Analytical and Applied Pyrolysis* 88: 22-29.
- Goyal, H. B. and D. Seal and R. C. Saxena. 2008. Bio-fuels from thermochemical conversion of renewable resources: A review. *Renewable and Sustainable Energy Reviews* 12: 504-517.
- Heidari, A., R. Stahl, H. Younesi, A. Rashidi, N. Troeger and A. A. Ghoreyshi. 2013. Effect of process conditions on product yield and composition of fast pyrolysis of *Eucalyptus grandis* in fluidized bed reactor. *Journal of Industrial and Engineering Chemistry*.
- Heo, H. S., H. J. Park, Y.-K. Park, C. Ryu, D. J. Suh, Y.-W. Suh, J.-H. Yim and S.-S. Kim. 2010. Bio-oil production from fast pyrolysis of waste furniture sawdust in a fluidized bed. *Bioresouce Technology* 101: S91-S96.
- Jayasinghe, P. and K. Hawboldt. 2012. A review of bio-oils from waste biomass: Focus on fish processing waste. *Renewable and Sustainable Energy Reviews* 16: 798-821.
- Mohan, D. and C. U. Pittman and P. H. Steele. 2006. Pyrolysis of Wood/Biomass for Bio-oil: A Critical Review. *Energy & Fuels* 20: 848-889.
- Mullen, C. A., A. A. Boateng, N. M. Goldberg, I. M. Lima, D. A. Laird and K. B. Hicks. 2010. Bio-oil and bio-char production from corn cobs and stover by fast pyrolysis. *Biomass and Bioenergy* 34: 67-74.
- Nowakowski, D. J., A. V. Bridgwater, D. C. Elliott, D. Meier and P. de Wild. 2010. Lignin fast pyrolysis: Results from an international collaboration. *Journal of Analytical and Applied Pyrolysis* 88: 53-72.
- Osada, M., A. Yamaguchi, N. Hiyoshi, O. Sato and M. Shirai. 2012. Gasification of Sugarcane Bagasse over Supported Ruthenium Catalysts in Supercritical Water. *Energy & Fuels*.

- Park, H. J., Y.-K. Park, J.-I. Dong, J.-S. Kim, J.-K. Jeon, S.-S. Kim, J. Kim, B. Song, J. Park and K.-J. Lee. 2009. Pyrolysis characteristics of Oriental white oak: Kinetic study and fast pyrolysis in a fluidized bed with an improved reaction system. *Fuel Processing Technology* 90: 186-195.
- Park HJ, P. Y.-K., Dong J-I, Kim J-S, Jeon J-K, Kim S-S, et al. 2009. Pyrolysis characteristics of oriental white oak: Kinetic study and fast pyrolysis in a fluidized bed with an improved reaction system. *Fuel Processing Technology* 90.
- Pattiya, A. 2011. Bio-oil production via fast pyrolysis of biomass residues from cassava plants in a fluidised-bed reactor. *Bioresource Technology* 102: 1959-1967.
- R. Liu, C. D., J. Wanga. 2009. Fast Pyrolysis of Corn Straw for Bio-oil Production in a Bench-scale Fluidized Bed Reactor. *Energy Sources, Part A: Recovery, Utilization, and Environmental Effects* 32: 10-19.
- Robert C. Brown. 2011. Thermochemical Processing of Biomass: Conversion into Fuels, Chemicals and Power.
- Saxena, R. C. and D. K. Adhikari and H. B. Goyal. 2009. Biomass-based energy fuel through biochemical routes: A review. *Renewable and Sustainable Energy Reviews* 13: 167-178.
- Stöcker, M. 2008. Biofuels and Biomass-To-Liquid Fuels in the Biorefinery: Catalytic Conversion of Lignocellulosic Biomass using Porous Materials. *Angewandte Chemie International Edition* 47: 9200-9211.
- Wang, X., S. R. A. Kersten, W. Prins and W. P. M. van Swaaij. 2005. Biomass Pyrolysis in a Fluidized Bed Reactor. Part 2: Experimental Validation of Model Results. *Industrial & Engineering Chemistry Research* 44: 8786-8795.
- Yanik, J., C. Kornmayer, M. Saglam and M. Yüksel. 2007. Fast pyrolysis of agricultural wastes: Characterization of pyrolysis products. *Fuel Processing Technology* 88: 942-947.
- Zhang, H., R. Xiao, D. Wang, G. He, S. Shao, J. Zhang and Z. Zhong. 2011. Biomass fast pyrolysis in a fluidized bed reactor under N₂, CO₂, CO, CH₄ and H₂ atmospheres. *Bioresource Technology* 102: 4258-4264.
- Zhang, Q., J. Chang, T. Wang and Y. Xu. 2007. Review of biomass pyrolysis oil properties and upgrading research. *Energy Conversion and Management* 48: 87-92.
- Zheng, J.-l. and W.-m. Yi and N.-n. Wang. 2008. Bio-oil production from cotton stalk. *Energy Conversion and Management* 49: 1724-1730.

Bio-oil production from fast pyrolysis of corn wastes and eucalyptus wood in a fluidized bed reactor

Abstract

Fast pyrolysis is an attractive technology for biomass conversion, from which bio-oil is the preferred product having a great potential for use as fuel oil in industry, or as transport fuel. Corn wastes (cob and Stover) and Eucalyptus wood are widely being produced throughout the world. In this study, fast pyrolysis of these two feedstock were examined under the temperature of 500 °C, career gas flow rate of 660 l/h, particle size of 1-2 mm and 80 and 110 gr/h of feed rate. The experiments were done in a continuous fluidized bed reactor. Pyrolysis vapor were condensed in 3 cooling traps (15, 0 and -40 °C) plus an electrostatic one. Eucalyptus wood was pyrolysed to 12.4, 61.4, and 26.2 percent of bio-char, bio-oil and gas respectively while these figures were as 20.15, 49.9, and 29.95 for corn wastes. In all experiments, the bio-oil obtained from electrostatic trap was a dark brown highly viscose liquid.

Keywords: renewable energy, biomass, fast pyrolysis, feeding rate